

## К ТЕОРИИ ИЗМЕРИТЕЛЬНЫХ ЗОН ЭЛЛИПСОМЕТРА

А. И. Семенов

Параметрический способ описания измерительных зон эллипсометра, предложенный в работах [1, 2], безусловно, обладает рядом существенных преимуществ по сравнению с интервальным способом [3, 4]. В работах [1, 2] для оптической системы *PSKA* (поляризатор—образец—компенсатор—анализатор) зоны определяются сочетанием двух параметров, один из которых ( $\Delta_0$ ) дает характер наклона (положительный или отрицательный) поляризатора к плоскости падения, а второй — это угол  $\gamma$  между «быстрой» осью компенсатора и плоскостью падения, для которого чаще всего принимаются значения  $\pm\pi/4$ . Но «быструю» ось целесообразно фиксировать и в других положениях ( $\gamma \neq \pm\pi/4$ ). Кроме того, фиксировать можно и поляризационную призму, добываясь гашения света на выходе анализатора вращением компенсатора и второй призмы. В результате создается обманчивое впечатление, что для каждой оптической системы (*PSKA* или *PKSA*) можно ввести множество типов измерительных зон. То же самое относится и к существующему интервальному способу. Здесь мы покажем, что для каждой оптической системы на самом деле существует только один тип измерительных зон, определяемый сочетанием двух параметров, каждый из которых принимает два значения, одинаковых в любой конкретной ситуации.

Теоретическую основу нулевых методов составляют соотношения

$$\Delta = \Delta_1 - \Delta_0, \quad \text{tg } \psi = \text{tg } \psi_0 / \text{tg } \psi_1, \quad (1)$$

связывающие поляризационные углы  $\psi$  и  $\Delta$  с углами  $\psi_0$ ,  $\Delta_0$  и  $\psi_1$ ,  $\Delta_1$ , определяющими в координатной системе ( $p$ ,  $s$ ) поляризацию падающей на образец и отраженной от образца волн [5]. Выражая углы  $\psi_0$ ,  $\Delta_0$ ,  $\psi_1$  и  $\Delta_1$  через положения гашения оптических элементов, мы тем самым с помощью соотношений (1) устанавливаем связь между углами  $\psi$  и  $\Delta$  и положениями гашения. Рассмотрим сначала оптическую систему *PSKA*. В этом случае падающая волна всегда поляризована линейно, т. е. равенство фаз  $\Delta_0$  принимает только два значения ( $\Delta_0 = 0$  или  $\pi$ ). В конкретной измерительной ситуации это значение должно быть точно определено. Параметры  $\Delta_0$  и  $\psi_0$  очевидно, зависят от ориентации поляризатора, которую естественно задавать углами (см. рисунок)

$$\psi_0 \in (0, \pi/2) \text{ и } \Delta_0 = 0 \text{ или } \pi, \quad (2)$$

аналогичными углам  $\psi_1$  и  $\Delta_1$  «высокочастотного ориентированного» выпрямления пропускания поляризатора ( $\Delta_1 = 0$ ) связаны от плоскости падения на угол  $\psi_1$  в определенном направлении отсчетных «высокочастотных» углов (от оси  $p$  и оси  $s$ ), но так, что угол  $\psi_1$  не выходит за пределы интервала  $(0, \pi/2)$ . Ориентированное выпрямление пропускания ( $\Delta_1 = \pi$ ) связано от плоскости падения на угол  $\psi_1$  в противоположном направлении при условии того же угла  $\psi_1 < \pi/2$ . Углы  $\psi_1$  и  $\Delta_1$  связаны с параметрами  $\psi_0$  и  $\Delta_0$  следующими соотношениями

$$\Delta_1 = \Delta_0, \quad \psi_1 = \psi_0, \quad (3)$$

Задавая при поиске гашения тип ориентации выпрямителя, т. е. параметр  $\Delta_1$ , мы тем самым фиксируем параметр  $\Delta_0$ , устраняя соответствующим образом неопределенность в измерительной ситуации. Угол  $\psi_0$  однозначно определяется углом  $\psi_1$  при любом типе ориентации. Что касается углов  $\psi_1$ ,  $\Delta_1$  характеристических выпрямлений волны на входе компенсатора, то их связь с положением вектора линейной поляризации  $E$  на выходе компенсатора и в конечном итоге с положением гашения анализатора существенно зависит от типа ориентации «быстрой» оси компенсатора. Ориентацию этой оси целесообразно описывать углами (см. рисунок)

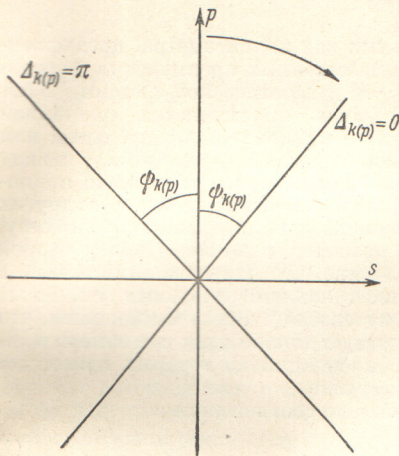
$$\psi_2 \in (0, \pi/2) \text{ и } \Delta_2 = 0 \text{ или } \pi, \quad (4)$$

имеющие тот же смысл, что и углы  $\psi_0$ ,  $\Delta_0$ . Задавая при поиске гашения тип ориентации «быстрой» оси, т. е. параметр  $\Delta_2$ , мы устраняем и эту неопределенность. Ориентацию анализатора, никак не связанную с рассмотренными выше неопределенностями,



будем описывать углом  $\gamma_a$ , отсчитывая его положительные значения (от плоскости падения) в принятом направлении (от оси  $p$  к оси  $s$ ).

Таким образом, задавая в системе  $PSKA$  конкретное сочетание параметров ( $\Delta_p$ ,  $\Delta_k$ ), мы полностью конкретизируем измерительную ситуацию. Можно сказать, что, определяя положения гашения при заданном сочетании параметров ( $\Delta_p$ ,  $\Delta_k$ ), мы работаем в пределах соответствующей измерительной зоны эллипсометра. Четырем сочетаниям параметров ( $\Delta_p$ ,  $\Delta_k$ ) отвечают четыре измерительные зоны оптической системы  $PSKA$ . Для таких зон удобно ввести обозначение  $\{P^{(\pm)}SK^{(\pm)}A\}$ , где знаку плюс отвечает  $\Delta_{p(k)}=0$ , а знаку минус  $-\Delta_{p(k)}=\pi$ . Задавшись зоной, мы, естественно, можем вращать и поляризатор, и компенсатор, но так, чтобы характер их ориентации, определяемый параметрами  $\Delta_p$  и  $\Delta_k$ , не менялся. Имеет место утверждение, что в пределах каждой зоны  $\{P^{(\pm)}SK^{(\pm)}A\}$  можно фиксировать в любом заданном положении, сохраняя соответствующий тип ориентации — или поляризатор, или компенсатор — добиваясь гашения света вращением остальных элементов. Иными словами, каждой зоне отвечают три параметра гашения, один из которых произвольно фиксирован.



Выражения, определяющие в пределах каждой зоны  $\{P^{(\pm)}SK^{(\pm)}A\}$  связь поляризационных углов  $\psi$  и  $\Delta$  с параметрами гашения, проще всего получить, используя матрицы Джонса оптических элементов ( $L_p$ ,  $L_A$  и  $L_K$ ) и образца ( $L_S$ ), преобразующие столбец  $Q$ , образованный  $p$ - и  $s$ -составляющими амплитуды электрического вектора. Столбец  $Q_A$  на выходе анализатора связывается со столбцом  $Q_P$  на входе поляризатора матричным уравнением

$$Q_A = L_A L_K L_S L_P Q_P. \quad (5)$$

Изображение двух типов ориентации «быстрой» оси компенсатора (направлений пропускания поляризационных призм).

Матрицы Джонса, приведенные в работах [1, 2], соответствуют обычному способу описания ориентации «быстрой» оси и направлений пропускания, т. е. выражаются через углы  $\gamma_k$  и  $\gamma_{p(a)}$ , положительные значения которых отсчитываются от плоскости падения в принятом направлении. Переход от углов  $\gamma_k$  и  $\gamma_p$  к параметрам  $\psi_k$ ,  $\Delta_k$  и  $\psi_p$ ,  $\Delta_p$  легко осуществляется с помощью формул

$$\begin{aligned} \sin^2 \gamma_{k(p)} &= \sin^2 \psi_{k(p)}, \quad \cos^2 \gamma_{k(p)} = \cos^2 \psi_{k(p)}, \quad \sin \gamma_{k(p)} \cos \gamma_{k(p)} = \\ &= \cos \Delta_{k(p)} \sin \psi_{k(p)} \cos \psi_{k(p)}. \end{aligned} \quad (6)$$

Учитывая этот переход и расписывая уравнение (5), получим полную комплексную амплитуду волны на выходе анализатора, которую, предполагая ситуацию гашения, приравняем нулю. В результате придем к уравнению гашения, которое запишем здесь, опустив несущественный общий множитель,

$$b_1 \operatorname{tg} \psi e^{i\Delta} \cos \Delta_p \cos \psi_p + b_2 \sin \psi_p = 0, \quad (7)$$

$$b_1 = \cos \gamma_a (\cos^2 \psi_k + f e^{-i\delta} \sin^2 \psi_k) + \sin \gamma_a \cos \Delta_k \sin \psi_k \cos \psi_k (1 - f e^{-i\delta}), \quad (8)$$

$$b_2 = \cos \gamma_a \cos \Delta_k \sin \psi_k \cos \psi_k (1 - f e^{-i\delta}) + \sin \gamma_a (\sin^2 \psi_k + f e^{-i\delta} \cos^2 \psi_k), \quad (9)$$

где  $f$  и  $\delta$  — параметры компенсатора [2]. Из уравнения (7) аналогично тому, как это сделано в работах [1, 2], находим связь углов  $\psi$  и  $\Delta$  с параметрами гашения

$$\Delta = -\cos \Delta_k \left( 2\gamma_a + \frac{\pi}{2} \right) + \left( 2\psi_k - \frac{\pi}{2} \right) + \nu + m\pi, \quad \psi = \psi_p + \mu, \quad (10)$$

$$m = \begin{cases} 2l, & \Delta_p = 0 \\ 2l + 1, & \Delta_p = \pi \end{cases}, \quad \mu = \operatorname{arc} \operatorname{tg} \frac{(\alpha - 1) \operatorname{tg} \psi_p}{1 + \alpha \operatorname{tg}^2 \psi_p}, \quad \alpha = \frac{D}{|b_1|^2}, \quad (11)$$

$$\begin{aligned} \sin \nu &= \frac{-\cos \Delta_k}{D} (h \cos 2\gamma'_a - 2f \sin \delta \sin 2\gamma'_a \cos 2\gamma'_a), \\ \cos \nu &= \frac{h \sin 2\gamma'_a + 2f \sin \delta \cos^2 2\gamma'_a}{D}, \end{aligned} \quad (12)$$

$$D = \sqrt{h^2 + 4f^2 \sin^2 \delta \cos^2 2\gamma'_a}, \quad h \equiv \operatorname{Re} (b_1^* b_2), \quad 2\gamma'_a = 2\gamma_a - \left( 2\psi_k - \frac{\pi}{2} \right) \cos \Delta_k. \quad (13)$$



Придавая в формулах (10)—(13) конкретные значения параметрам  $\Delta_k$  и  $\Delta_p$ , мы получим выражения, связывающие углы  $\psi$  и  $\Delta$  с положениями гашения соответствующей зоны (с углами  $\psi_p$ ,  $\psi_k$  и  $\gamma_a$ , снабженными цифровым индексом, указывающим на принадлежность этих углов данной зоне). При  $\psi_k = \pi/4$  соотношения (10)—(13) дают нам результаты, полученные в работе [2].

Кратко остановимся на оптической системе PKSA. В этом случае измерительные зоны определяются характером ориентации анализатора и компенсатора, т. е. возможными сочетаниями параметров  $\Delta_a$  и  $\Delta_k$  (ориентация компенсатора и анализатора описывается здесь параметрами  $\psi_k$ ,  $\Delta_k$  и  $\psi_a$ ,  $\Delta_a$ , а поляризатора — углом  $\gamma_p$ ). Выражения, связывающие углы  $\psi$  и  $\Delta$  с положениями гашения в пределах каждой зоны {PK<sup>(±)</sup>SA<sup>(±)</sup>}, получаются из формул (10)—(13) заменой  $\Delta_p$  на  $\Delta_a$ ,  $\psi_p$  на  $\psi_a$  и  $\gamma_a$  на  $\gamma_p$ .

#### Литература

- [1] А. И. Семенов. Опт. и спектр., 39, 587, 1975.
- [2] А. И. Семенов, Ф. С. Миронов. Опт. и спектр., 42, 528, 1977.
- [3] М. М. Горшков. Эллипсометрия. «Сов. радио», М., 1974.
- [4] Р. Н. Smith. Surface Science, 16, 34, 1969.
- [5] Л. В. Семенов, К. К. Свиташев, А. И. Семенов. В сб.: Некоторые проблемы физики и химии поверхности полупроводников. «Наука», СО, Новосибирск, 1972.

Поступило в Редакцию 29 июня 1977 г.

УДК 539.186

## ВОЗБУЖДЕНИЕ АТОМОВ Al, Ga, In, Tl ЭЛЕКТРОННЫМ УДАРОМ

Р. К. Петеркоп и Ю. И. Рябыл

В ряде работ [1-5] экспериментально исследовано возбуждение атомов Al, Ga, In, Tl электронным ударом. В настоящем сообщении приводятся результаты расчетов в приближениях Борна и Борна—Очкура [6]. Вычислены сечения возбуждения первых возбужденных *s*-, *p*-, *d*-состояний валентного электрона при энергиях от порога возбуждения до 600 эВ.

Сечения усреднены по начальным состояниям атома  $nP_{1/2}$ ,  $nP_{3/2}$  ( $n=3, \dots, 6$  для Al, ..., Tl). Учитывая температуру, при которой проводились экспериментальные измерения, мы приняли, что доля состояния  $nP_{1/2}$  для Al составляет статистическому весу (1/3), а для Ga, In, Tl составляет 0.56, 0.9, 1 соответственно.

Радиальные волновые функции валентного электрона найдены численным интегрированием, используя для потенциала атомного ядра двухпараметрическое аналитическое выражение [7]. Параметры потенциала выбирались так, чтобы энергия  $\epsilon_{10}$  основного состояния совпала с экспериментальным значением центра тяжести дублета. В качестве второго условия использовались соотношения между параметрами, приведенные в [7]. Результаты расчетов показаны на рисунках.

Для Al приведены сечения, просуммированные по компонентам лямбда-структуры. Вклад отдельной компоненты в этом случае пропорционален ее статистическому весу. Для других атомов это соотношение нарушается и большая оказывается сечение компоненты с меньшим значением полного момента, что связано с преобладанием начального состояния  $nP_{1/2}$ . Учет обмена в большинстве случаев снижает сечения. На рисунке сечения без учета обмена приведены только для атома In, для других атомов картина такая же. С ростом энергии роль обмена быстро убывает и практически исчезает при  $E > 30$  эВ. В отличие от экспериментальных данных вычисленные сечения для всех рассматриваемых атомов одинаковы по порядку величин. Для In и Tl наибольшим является  $\sigma(nd_{3/2})$ .

Поскольку в экспериментах [1-4] присутствует вклад каскадного заселения уровней, для Tl были вычислены сечения возбуждения ряда высших уровней и оценена роль каскадных переходов. Для состояния  $6d_{3/2}$  она мала — меньше 20%. Для  $6d_{5/2}$  — меньше 10%, а к состоянию  $7s_{1/2}$  каскады могут добавлять 15—30% в основном за счет состояний  $7p_{1/2, 3/2}$ . Для других атомов были получены такие же величины.

Вычисленные сечения сравнительно близки к экспериментальным данным [1-4] в случае Ga и In. Сечения возбуждения состояний  $5s$  и  $6s$  отличаются в 1—2 раза, а  $4d$  и  $5d$  хорошо согласуются при больших энергиях (сравнение без учета каскадов). Более значительно различаются сечения Al и Tl, где для состояний  $4s$  и  $7s$  расчет в 2—7 раз отличается от эксперимента. Сечение  $\sigma(6d_{3/2})$  в максимуме в 2—3 раза больше, а при